

## 1978年宮城県沖地震による地盤震害に関する調査

建設省土木研究所 岩崎 敏男・常田 賢一

著者紹介

1978年宮城県沖地震(1978年6月12日,  $M = 7.4$ )により、宮城県内を中心として土木構造物等に甚大な被害が発生した。筆者らは、地震直後多方面にわたり初動調査を実施し報告を行つたが<sup>1), 2)</sup>。本文は初動調査に引き続いて実施した詳細調査の結果の一部である。ここでは地盤の液状化に関して実施した調査の報告を行うが、その内容は1) 地盤の液状化の概要、2) 位置(名取川の中村地区、海上上地区および海上大橋)における地盤の耐震性調査、3) 液状化の判定に関する検討である。

### I 地盤の液状化の概要

宮城県沖地震<sup>2)</sup>で、筆者らが確認していふる地盤の液状化(噴砂)地盤は、30箇所である。図-1に液状化地盤の分布図を示すが、宮城県内の沖積地に集中していふることがわかる。これらの液状化地盤では、名取川の中村地区、海上上地区あるいは海上大橋の下に河川堤防、橋梁に被害が見られていふ地盤もあれば、構造物に被害の見られていねり地盤もある。ただ、今回の地震では、新潟地震で見られたような大規模な液状化には見られず、大部分は局所的で小規模な噴砂に止つている。

液状化の生ずる限界震央距離( $R$ )とマグニチュード( $M$ )との間に相関があることが確認されているが<sup>3)</sup>、宮城県沖地震の液状化の確認されていふる地盤に特して両者の関係を描いたのが図-2である。同図からも明らかなように今回の地震での液状化発生地盤の震央距離は $R = 80 \sim 114$ (km)であり、液状化発生の限界震央距離に位置している。また、図-3は地震直後、上箇所の噴砂地盤で採取した噴出砂の粒度分布を示したものである。噴出砂の粒度分布( $D_{50}$ )は $0.22 \sim 0.50$ の範囲であり、比較的粒径の狭い砂であることがわかる。

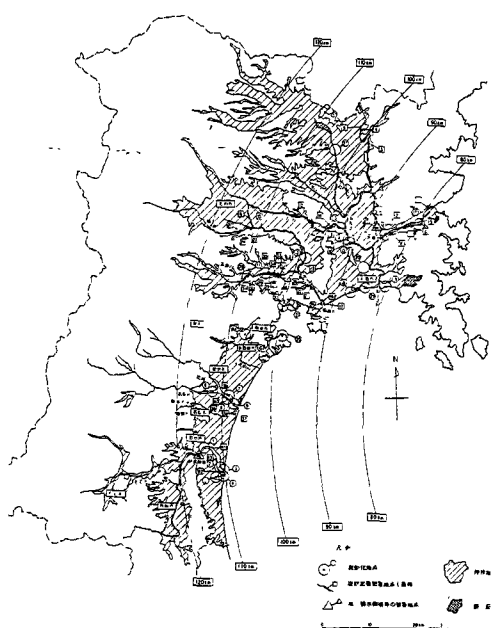


図-1 液状化地点分布図

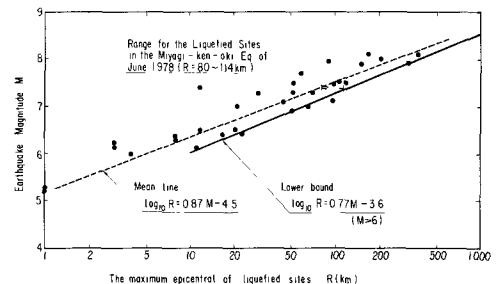


図-2 マグニチュードと限界震央距離<sup>3)</sup>

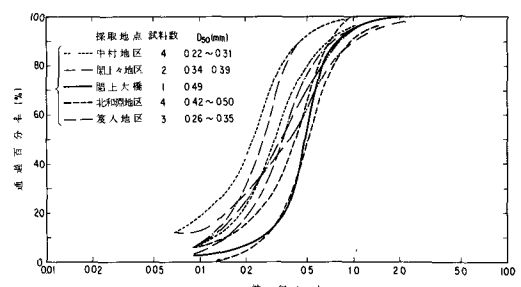


図-3 宮城県沖地震における噴砂の粒度分布



図-4 原位置地盤耐震性調査地点(中村, 沖上上, 沖上大橋)

## 2 原位置における地盤の耐震性調査

地盤の耐震性に関する詳細な調査を名取川の中村地区(左岸河口下り  $\geq 4\text{ km}$ )、沖上上地区(右岸同  $2.8\text{ km}$ )および沖上大橋(同  $1.0\text{ km}$ )の3地点で実施した(図-4参照)。中村地区では堤内外両側で噴砂が見られ、堤体も約  $110\text{ m}$ にわたる陥没(最大  $1.5\text{ m}$ )、亀裂を生じている。沖上上地区では堤内法尻付近で陥没・亀裂が見られた。また、沖上大橋では橋軸方向への杭の移動が見られ、首座の破損、橋脚の亀裂等の被害が生じている。

これらの地盤では、ボーリング、P-S検層、標準貫入試験、不擾乱試料採取等の原位置調査を実施した。そして引抜き物理特性試験、室内動的強度試験を行い、それらの試験結果を基にして地盤の耐震性調査を行った。

図-5は原位置より採取した不擾乱砂質土の動的強度試験結果があり、 $D_{50}^*$  ( $= R_d - 0.0042 D_r^*$ ,  $D_r^* = 2\sqrt{N}/(0.7 + 0.7)$ ) と  $D_{50}$  の従来の関係<sup>4)</sup> 上に対比させたものである。今回の結果が従来の分布傾向と似てないことがわかる。

上記3地点において (1)式で定義される液状化抵抗係数( $F_L$ )を算定した。<sup>4)</sup>

$$F_L = R/L$$

ここで、R: 動的強度比、L: 地震時動的応力比

図-6～8は各々、中村地区の堤防被災地帯の下流側堤内法尻( $N-1$ )、沖上上地区の堤防被災地帯の堤内法尻( $Y-1$ ) および同地区の無被災地帯の堤内法尻( $Y-3$ )での計算結果である。これらの地盤では  $R$  および  $L$  は各々、(2)式、(3)式による簡易推定式によく計算して。<sup>4)</sup>

$$R = \begin{cases} 0.0042 D_r^* + 0.19 & [0.02 \leq D_{50} \leq 0.05] \\ 0.0042 D_r^* + 0.225 \log_{10}(D_{50}/0.35) & [0.05 \leq D_{50} \leq 0.6] \\ 0.0042 D_r^* - 0.05 & [0.6 \leq D_{50} \leq 2.0] \end{cases} \quad (2)$$

$$L = \gamma_s \rho_s g / \sigma_f \quad (3)$$

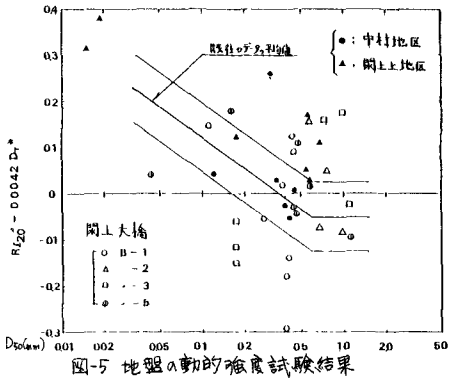


図-5 地盤の動的強度試験結果

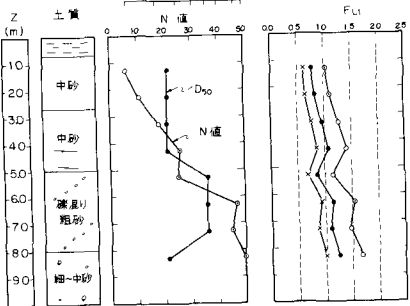


図-6 液状化の簡易判定結果(中村地区, N-1)

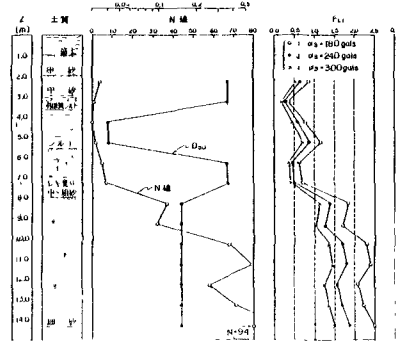


図-7 液状化の簡易判定結果(沖上上地区, Y-1)

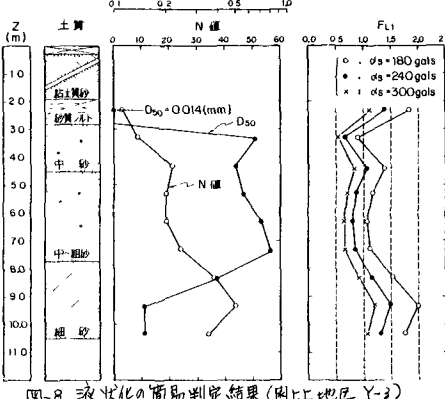


図-8 液状化の簡易判定結果(沖上上地区 Y-3)

図-9は海上大橋の橋軸に沿った4箇所(下流15m)での計算結果であるが、同地盤での動的強度試験の結果を用い、Lは重複反射法による応答計算(樽水ダム軸方向の記録波形を180galとして仮想基盤より入力)より求めたもの。

これらの結果から、中村地区(N-1)では $\alpha_s = 180\text{gal}$ で $F_L > 1.0$ ,  $\alpha_s = 240\text{gal}$ で $Z = 5 \sim 6\text{m}$

逆 $L < 1.0$ となること、海上上地区ではY-3(被害地盤)とY-4(無被害地盤)との差異の見

られることがわかる。また、海上大橋ではB-1, B-2, B-3で $F_L < 1.0$ となり、噴砂現象に対応している。B-5では地表面にかけた噴砂は確定されず、たゞ、液状化があるたるものと推察される。

### 3 液状化の判定に関する検討

#### 1) 液状化抵抗係数( $F_L$ )および液状化抵抗指標( $P_L$ )

土木研究所では砂質土層の液状化判定指標として $F_L$ および $P_L$ を提案しているが<sup>(4),(5)</sup>、宮城県沖地震ではこれらの指標がどのようす意味を持つか検討した。すな、地盤柱状図( $N$ 値)の得られたいる液状化地盤(16度)と非液状化地盤(12度)を選び、 $F_L$ の計算を行った。 $F_L$ の計算は(2), (3)式により推算したが、震度 $\alpha_s$ は各地盤の震央距離に応じて推定した。また、 $D_{50}$ の不明なもののは土質柱状図より推定した。図-10はこれらの $F_L$ 値の深度分布を示したものである。図中・印は液状化地盤と液状化したと推察される土層の結果であるが、ここでは、10m以内の飽和砂質土層で平均粒径 $D_{50} = 0.02 \sim 20\text{mm}$ ,  $N$ 値 $\leq 10$ を液状化層と推定した。図-10では液状化層と非液状化層の $F_L$ 値が混在してその差異が明らかでないため、両層の $F_L$ 値の頻度分布を図-11の図-11である。対象としたのは $Z = 0 \sim 10\text{m}$ の $F_L$ 値である。同図より、上記の定義による液状化層と $F_L$ 値との対応が良好であること、液状化層と非液状化層との間に $F_L$ 値の分布パターンに差異のあることがわかる。

次に、上記の液状化地盤および非液状化地盤で得られた $F_L$ ～ $Z$ から、(4)式で定義される $P_L$ を計算した。 $P_L$ は土層全体に関する液状化程度を示す指標であり、 $\alpha_s$ 値が大きい程液状化しやすくなる地盤である。

$$P_L = \int_0^{20} (1 - F_L) \cdot W(Z) dZ \quad \text{----- (4)}$$

$W(Z)$ ：重み関数 ( $= 10 - 0.5Z$ )

図-12は液状化地盤および非液状化地盤について $P_L$ の度数分布、累積度数分布をまとめた図である。また、図-13は従来の結果<sup>(5)</sup>と図-12の結果を総合したものである。同図より、 $P_L$ 値によても液状化、非液状化の区分が可能となるように思われる。たとえば、 $P_L = 10$ を液状化と非液状化の判定の境界とすると、液状化層が非液状化層と判定される地盤は約30%程度であり、地盤、非液状化でありながら液状化可能性と判定される地盤は約20%程度であるといふことになる。

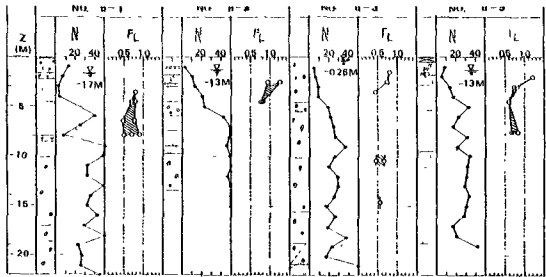


図-9 液状化の詳細判断結果(海上大橋)

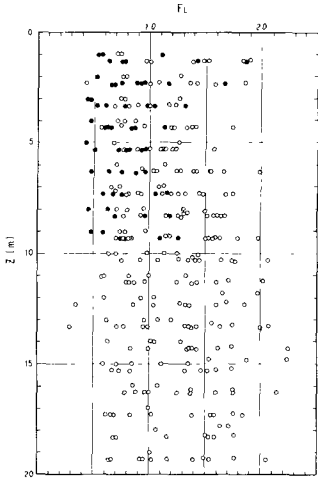
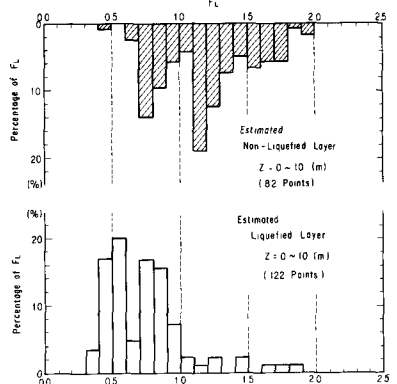


図-10 液状化および非液状化地盤での $F_L$ ～ $Z$ 分布



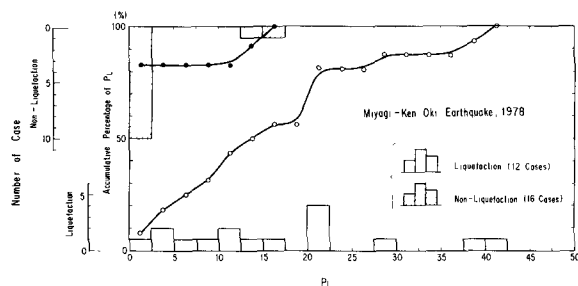


図-12 流動化地盤および非流動化地盤でのPLの頻度分布(宮城県沖地震)

地盤耐震地図の作成基準	
区分	判断基準
(A) 流動化する可能性の高い地盤 (詳細な調査が必要な地域)	○旧河道・現河道・砂丘間低地 (地下水位の高いところ) ○水部・河川敷や旧水面内 (高い) 盛土地・埋立地
(B) 流動化する可能性のある地盤 (簡易な調査が必要な地域)	○(A) でも (C) でもない地域
(C) 流動化する可能性の低い地盤	○台地・丘陵地

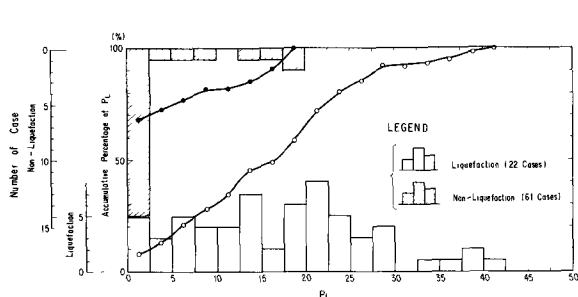


図-13 流動化地盤および非流動化地盤でのPLの頻度分布(括弧図)

## 2) 地盤耐震地図

筆者らは微地形分類に基づくマクロ的地盤流動化の判定基準を提案してさしつけたが(表-1参照), 今回の地震での流動化地盤の微地形分類上の特徴および表-1の判定基準の適用・妥当性について検討を行つた。図-14はその結果を示すものであるが、微地形分類上、現河道、埋立地、氾濫平野に流動化の大部が発生していることがわかる。また、表-1の基準に従うと流動化地盤の65%が区分A, 35%が区分Bに該当することがわかる。なお、図-14作成に際して同一地盤で何箇所か噴砂がある場合はすべて度数の対象としている。

## 4 まとめ

- 1) 今回の地震では液状化発生の限界震央距離に位置する地盤に液状化(噴砂)が計られていた。
- 2) 液状化(噴砂)規模は局所的・小規模であり、必ずしも構造物の被害を誘発しない場合。
- 3) 液状化抵抗係数( $P_L$ )と液状化現象との対応は良く、液状化の判定のための一つの指標として用い得るものである。
- 4) 液状化抵抗指數( $P_L$ )により、液状化地盤・非液状化地盤の判定を行はることも可能である。
- 5) 液状化地盤は微地形分類上、現河道、埋立地、氾濫平野に大部分が集中している。
- 6) 地盤の耐震地図作成基準(表-1)によれば、液状化地盤の65%が区分A, 35%が区分Bに相当している。

おひがき 中村地区および海上地区における地盤の耐震性調査、液状化地盤・非液状化地盤での $P_L$ 、 $P_L$ の検討調査は昭和53年度特別研究促進調整費により実施した。また、現地調査を実施するに際して、東北地方建設局の本局と仙台工事事務所および宮城県の方々に多大の御協力を得た。関係者各位に謝意を表します。

## 《参考文献》

- (1) 土木研究所 1978年6月宮城県沖地震被害調査速報、土木技術資料、No.8 (4) 岩崎・龍岡・常田 地盤流動化の判定法、土木技術資料、Vol.20, No.4
- (2) 岩崎・龍岡・常田 1978年6月宮城県沖地震被害調査報告、土研資料 第142号、1978.10.15 岩崎・龍岡・常田・安田 地盤の地震時流動化の簡易判定法と適用例、JEES, 1979.11
- (3) 龍岡・岩崎・常田 明治以降の本邦の地盤液状化履歴、土研資料 第30号、1964.12 (6) 岩崎・常田・佐藤 液状化履歴地盤の地盤特性(その3)、第34回土木学会、1979

表-7 地盤の耐震地図の作成基準

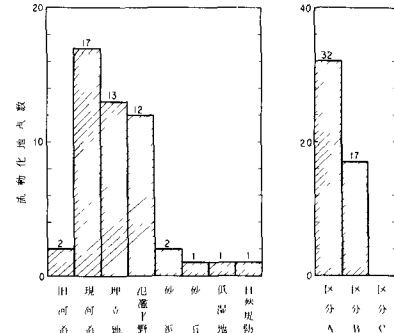


図-14 宮城県沖地震における液状化地盤の微地形分類および耐震地図作成基準の適用